# 非線形動的解析による地震で被害を受けた橋脚掛け違い部の損傷原因の推定

(公財) 鉄道総合技術研究所 俊太朗 正会員 〇木全 伯光 正会員 正会員 仁平 達也 正会員 敏弥 田所

#### 1. はじめに

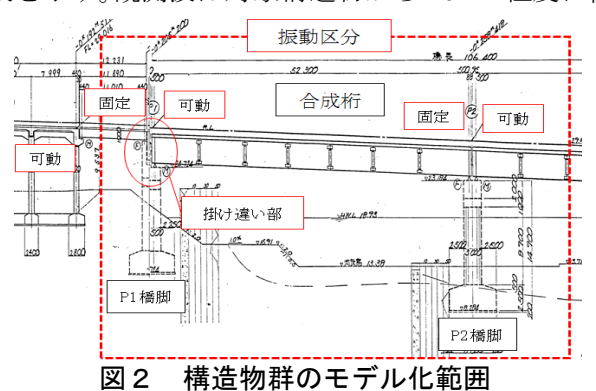
近年発生した地震において、設計で損傷を許容しない橋脚の掛 け違い部に損傷が生じた。図1に地震時に掛け違い部に損傷が発 生した事例を示すが、掛け違い部が損傷する原因については明ら かにされていない。そこで、被災した実構造物群をモデル化した 非線形動的解析を実施し, 地盤による橋脚く体の前面抵抗や入力 地震動をパラメータとして, 地震時における掛け違い部の損傷要 因を推定した。



図 1 掛け違い部の損傷 1)

## 2. 解析条件について

図2に支承部の固定・可動条件から振動区分を設定した対象構造物のモデル化の範囲を示し、図3に解析モ デルの概要図を示す。①橋脚く体前面の地盤抵抗による影響,②入力地震動の卓越周期等の特性による影響, ③掛け違い部と橋脚く体の共振, ④構造物間の位相差などが掛け違いの損傷要因と想定し, 入力地震動と地盤 による P1 橋脚く体の前面抵抗をパラメータとした動的解析を実施した。解析ツールは Dars ver 2.1.1.1 を用 いた。なお、コンクリートおよび鉄筋の材料特性は、設計値を用い、コンクリート構造物の非線形特性は、鉄 道構造物等設計標準・同解説(耐震設計)2)(以下,耐震標準)に則り設定し,地盤の非線形特性は,骨格曲 線は有効抵抗土圧を考慮したバイリニア型,履歴曲線は武田型とした。橋脚前面の地盤抵抗は,N=5 の砂地 盤としたが、これは鉄道構造物等設計標準・同解説(土構造物)3に示される「性能ランクⅢ」相当として設 定した。支承のばねは既往の文献<sup>4)</sup>を参考に設定した。**表1**に動的解析を実施したケースを示す。入力地震動 は耐震標準における L2Spc II (G1)<sup>2)</sup> 地震動 (以下, L2Spc II) および観測波とした。 図 4 に入力地震動の観測 波を示す。観測波は対象構造物から 20km 程度に位置する K-net<sup>5)</sup> MYG0141103111446 NSのデータである。



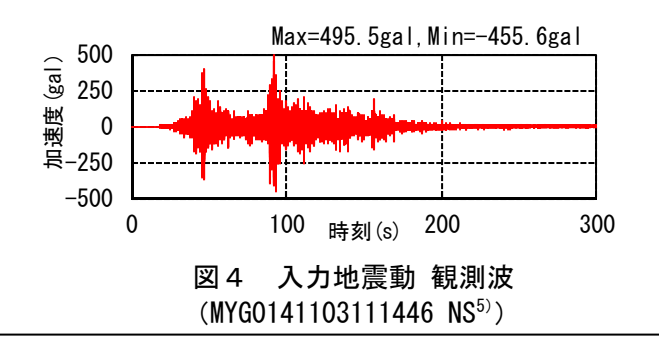
銀歩ケーフー覧

**=** 1

M:隣接桁質量 固定(剛ばね) 支承のばね4) M:隣接桁質量 スチッ・. (非線形) Kş2 掛け違い部 Hm M-m **栖** 脚部 橋脚部 Μ-φ ーチング前面 および橋脚躯体前面 Ks1 地盤ばね N=5 (砂質土) 剛部材。 → 剛部材 チング底面の一 👯 P1 橋脚 N=50 (砂質土) P2 橋脚

解析モデル 図 3

	入力	P1 橋脚く体の	地盤の
	地震動	前面抵抗	非線形
Case1	L2Sp II (G1)	なし	
Case2	L2Sp II (G1)	N=5	線形
Case3	L2Sp II (G1)	N=5	非線形
Case4	観測波	N=5	非線形



キーワード 掛け違い,動的解析,耐震設計,地盤抵抗,地震動特性,構造物間の位相差 連絡先 〒185-8540 東京都国分寺市光町 2-8-38 (公財) 鉄道総合技術研究所 TEL042-573-7281

### 3. 掛け違いの損傷原因について

### (1) P1 橋脚く体前面の地盤抵抗による影響

図5に Case1~3 における掛け違い部の回転角を示す。Case2, Case3, Case1 の順に P1 橋脚く体の地盤による前面抵抗は小さくなり, それに応じて掛け違い部の回転角が小さくなる。P1 橋脚く体の前面抵抗が大きくなるほど, 地盤により橋脚く体自体の変形が抑制されることで, 掛け違い部に損傷が集中したと推定できる。

### (2) 入力地震動の特性による影響

図6に Case3 および Case4 における降伏時の部材角  $\theta_y$ に対する 照査値を示す。入力地震動を観測波とした場合に、掛け違い部に 損傷が集中したことから、入力地震動が掛け違いの損傷程度に影響を与える結果となった。

図7にL2SpcIIと観測波の弾性応答スペクトルを示す。また構造物の固有周期は降伏点を結んだ等価剛性として算出し、橋脚く体天端のスペクトルは Case3 および Case4 における橋脚く体天端の加速度から算出した。L2SpcIIの場合には、掛け違い部よりも橋脚く体の固有周期と地震動の卓越周期が一致しているが、観測波の場合では、橋脚く体の固有周期と地震動の卓越周期が一致せず、掛け違い部で固有周期と地震動の卓越周期が一致せず、掛け違い部で固有周期と地震動の卓越周期が一致せず、掛け違い部で固有周期と地震動の卓越市期が一致せず、掛け違い部で応答が卓越すると考えられる。

現行の設計では、橋脚く体と掛け違い部の耐震設計はそれぞれ 独立して実施されてきたが、両者は相互作用系を成しているため、 橋脚く体と掛け違いの固有周期が一致し、共振した場合に掛け違 いの応答が増幅することになる。今回対象とした構造物において は**図7**より、掛け違い部と橋脚く体で固有周期の一致はないため、 共振による応答増幅の影響はないと考えられる。

#### (3) 構造物間の位相差

図8に Case3 における掛け違い部, P1 橋脚天端および P2 橋脚 天端の変位関係を示す。今回の検討においては, P1 橋脚および P2 橋脚は同位相で応答しており, 逆位相は確認できなかった。

#### 4. まとめ

本検討における掛け違い部の損傷原因は、橋脚く体前面の地盤抵抗により、橋脚く体の変形が抑制されたことで、掛け違い部に損傷が集中したことや観測波の卓越周期が掛け違い部の固有周期と一致したためであると推定される。なお、掛け違い部と橋脚く体の共振の影響や構造物群における逆位相の応答は確認できなかった。

## 謝辞

(独)防災科学技術研究所の K-net の観測記録を利用させて頂きました。ここに記して謝意を表します。

#### 参考文献

1) http://wwwtb.mlit.go.jp/tohoku/td/pamphlet.pdf, 2) 鉄道総合技術研究所:鉄道構造物等設計標準・同解説(耐震設計) 2012.9, 3) 鉄道総合技術研究所:鉄道構造物等設計標準・同解説(土構造物) 2007.1, 4) 中原正人ほか:鋼鉄道橋用の線支承の地震時復元力モデルに関する基礎的検討,第12回地震時保有耐力に基づく橋梁等の構造の耐震設計に関するシンポジウム,pp263-270,2009,5) http://www.kyoshin.bosai.go.jp/kyoshin/

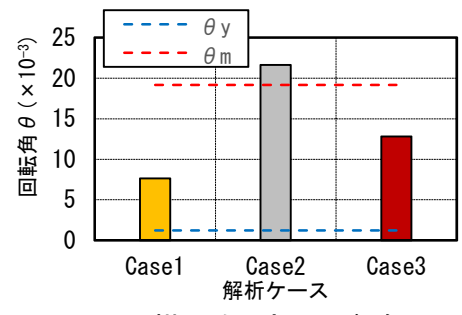


図5 掛け違い部の回転角

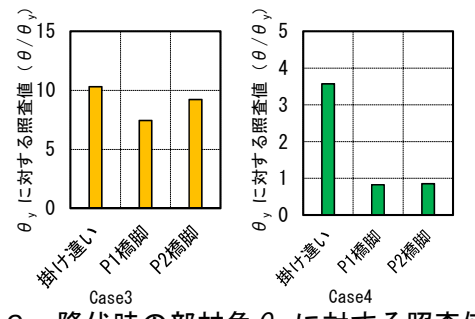


図 6 降伏時の部材角  $\theta$  、に対する照査値

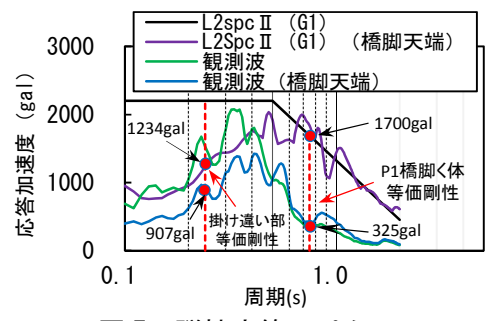


図7 弾性応答スペクトル

